

Академия наук СССР
Дальневосточный научный центр
Тихоокеанский океанологический институт

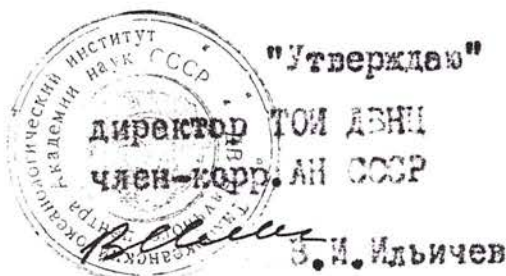
Отчет о геологических исследованиях в 36 рейсе
НИС «Первенец» (Японское море, сентябрь-ноябрь 1980 г.).

Син

Владивосток
1981

Отчет о геологических исследованиях в 36 рейсе НИС»Первенец» (Японское море сентябрь-ноябрь 1980 г.). Владивосток: ТОИ ДВНЦ АН СССР, 1981. 72 с.

АКАДЕМИЯ НАУК СССР.
Дальневосточный научный центр
Тихоокеанский океанологический институт



"21" маc 1961 г.

О Т Ч Е Т
о геологических исследованиях в 36 рейсе
НИС "Первенец"
(Японское море, сентябрь-ноябрь 1980 г.)

Зам. директора ТОИ
Д.Ф.-М.Н.

Зав. лабораторией
геологических формаций
К.Г.-М.Н.

Б.Ильин

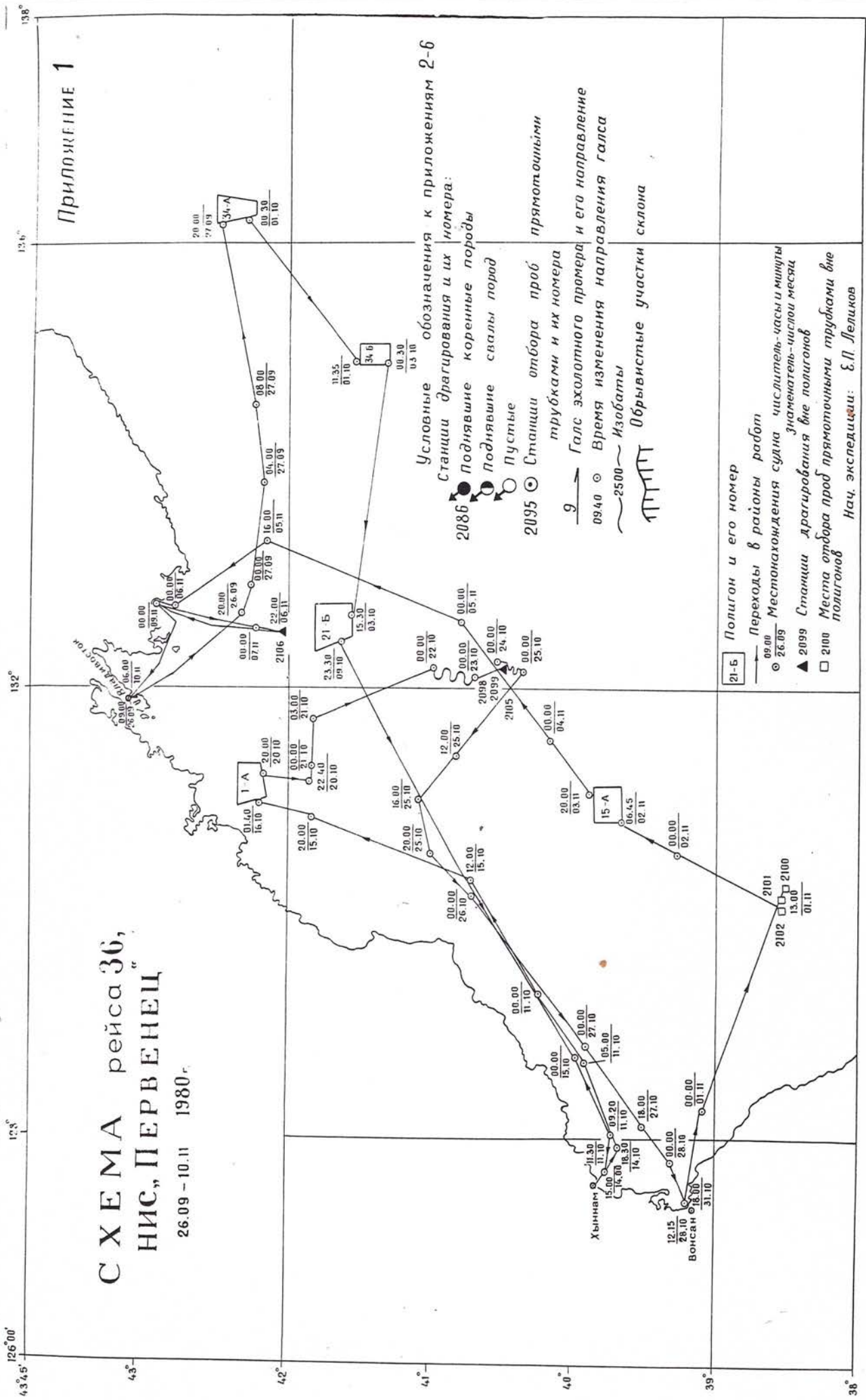
В.А.Акуличев

Е.П.Леликов

Владивосток
1961 г.

СХЕМА рейса 36,
НИС „ПЕРВЕНЕЦ”

26.09 - 10.11 1980г.

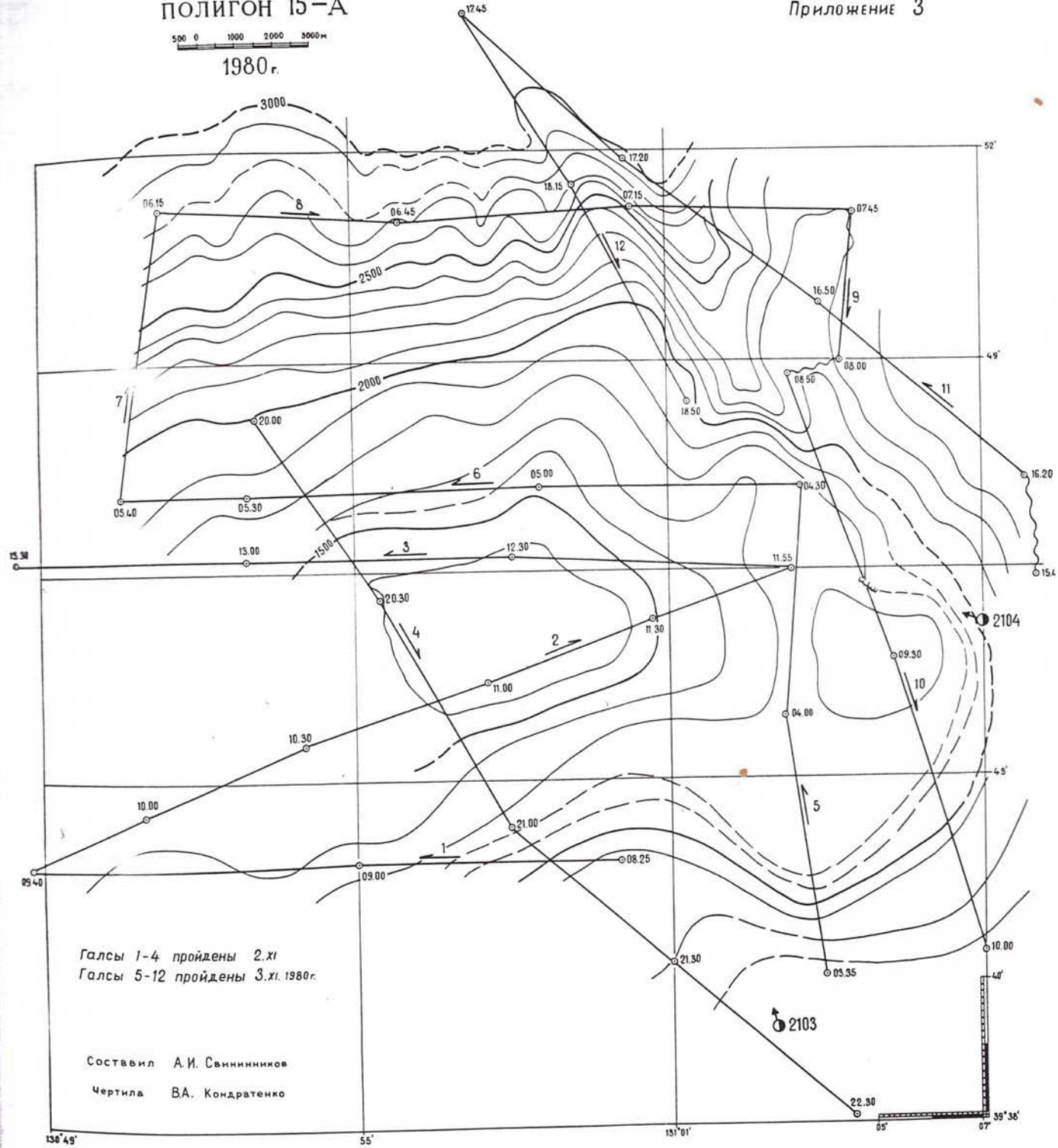


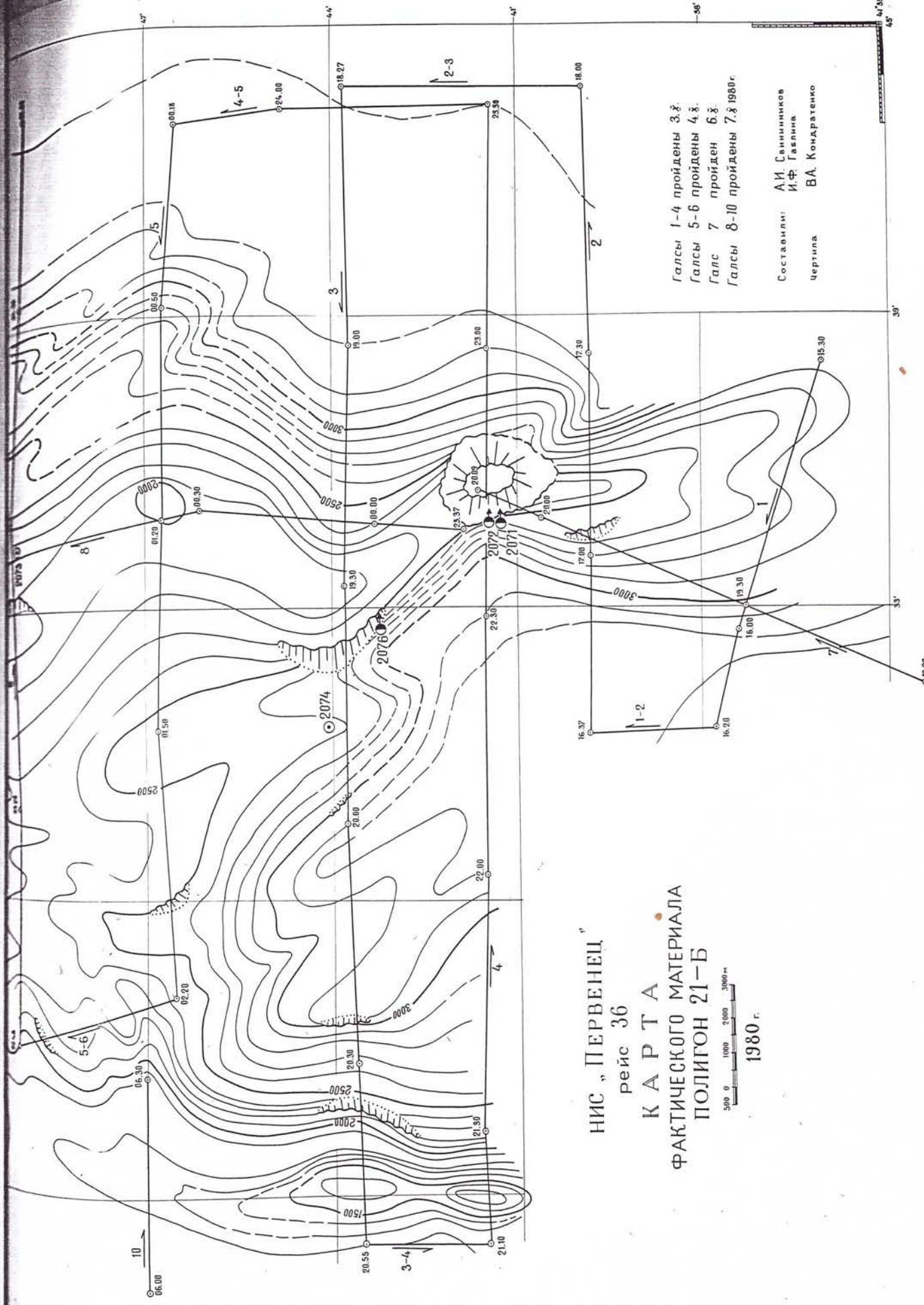
НИС „ПЕРВЕНЕЦ“
рейс 36
КАРТА
ФАКТИЧЕСКОГО МАТЕРИАЛА
ПОЛИГОН 15-А

500 0 1000 2000 3000 м

1980 г.

Приложение 3





координаты $42^{\circ}15'$ с.ш. и $131^{\circ}07'$ в.д. В этом районе склон имеет северо-восточное простижение. Он обладает четко выраженным двухчленным строением. Верхняя часть склона между бровкой шельфа и изобатой 1800 метров - крутая ($12-20^{\circ}$) с сильно расчлененным рельефом, изрезана неглубокими впадинами и каньонами. Нижняя - глубже изобаты 2000-1800 м имеет спокойный полого-холмистый рельеф, каньоны здесь встречаются реже.

В верхней части материкового склона на глубине 600-800 м нами обнаружена подковообразная, вытянутая в северовосточном направлении, впадина, размерами 4.8×1.9 км отгороженная с морской стороны валом с превышением 50-150 м. В центральной части впадины возвышается пологий холм с минимальной отметкой 580 м. Впадина имеет узкий выход в каньон, рассекающий склон в этом месте.

Две почти горизонтальные площадки возможно аккумулятивной или оползневой природы встречены в средней и восточной частях полигона между изобатами 1100-1200 м. Размеры площадок 1500×1000 м и 3500×1000 м. Минимальные глубины обнаруженные над ними 1290 и 1270 м.

4.2. Полигон 15-А (приложение 3) расположен на северо-восточных отрогах Восточно-Корейской возвышенности в зоне ее сочленения с глубоководной Центральной котловиной Японского моря (Западной подзоной). Площадь полигона представляет собой часть плато с отметками около 1400 м ограниченного с трех сторон склонами и вытянутого в восток-северовосточном направлении.

Северный склон полого, под углом около 7° спускается от глуби 1400 м до изобаты 2000 м, где его крутизна возрастает до 14° . Подножье склона имеет резкий перегиб на глубине 3000 м, который полого переходит в глубоководную котловину.

Северо-восточный и южный склоны имеют крутизну $8-10^{\circ}$ и $6-8^{\circ}$, при среднем уклоне - 9° . Эти склоны прослежены до глубины 2300 м где они выполняются. Отмечено несколько террасированных поверхностей на глубинах 1700-1800 м, 2100-2200 м.

Рельеф изученного северного склона осложнен наличием здесь нескольких мелких, вытянутых вниз по склону ложбин и одного крупного каньона протянувшегося с глубины 1700 м до подножья возвышенности.

4.3. Полигон 21-Б (приложение 4) находится в юго-восточной части возвышенности Первомай, его площадь около 780 км^2 . Центр полигона имеет координаты $41^{\circ}44' \text{ с.ш.}$ и $132^{\circ}33' \text{ в.д.}$

Рельеф изученного района сильно расчлененный, представляет собой широкую углубляющуюся к югу долину зажатую двумя субмеридионально вытянутыми хребтами. Переход глубин от тальвига долины до вершин с отметками 2300-1300 м, которые венчают хребты, составляет 1300-2000 м. Долина имеет корытообразную форму с более крутым западным бортом. На Севере долина разветвляется на множество глубоко врезанных, извилистых рукавов прослеженных нами до границы полигона и изобаты 2300 м. Хребты отрогами опускаются к югу от основной возвышенности находящейся севернее района работ.

Западный хребет исследован нами пересечением трех галсов и южное ограничение его не установлено. В пределах изученной части он имеет вершины с отметками 1270, 1380 метров, крутизна склона достигает 28° .

Восточный хребет изучен более полно. В северной части он имеет почти плоскую дугой изогнутую к востоку вершинную поверхность шириной 2.5 км протягивающуюся примерно на 11 км. Ограничено плато изобатой 2100 м. Начиная с широты $41^{\circ}44'$ к югу, глубина над вершиной постепенно возрастает и на широте $41^{\circ}40'$ переходит в склон с крутизной около 5° . Пологий рельеф вершины осложнен присутствием в месте перехода ее в южный склон конусообразной горы с относительным превышением над вершиной около 150 м. Минимальная отметка обнаружения здесь - 2200 м. Западный и восточный склоны хребта крутые, в среднем уклон равен 14° . Подножье склонов подчеркивается изобатой 3300 м. Обнаружено несколько неглубоких линейно вытянутых ложбин, косо секущих восточный склон в Северо-западном направлении, что вместе с линейными ограничениями, местами встречающимися на западном склоне и имеющими ту же ориентацию, придают

40 16-4 2100 1600 1600 1600 1600 1600

1600 1600 1600 1600 1600 1600

Норма зеленовато-серого пакистанского
шерсти, распакованного при условии 70% влаж-

ности беспородного скота и сухих косточек.

Норма зеленовато-серого с бархатной поверхностью

41 - 2101 1600 1600 1600 1600 1600

1600 1600 1600 1600 1600 1600

Норма зеленовато-серого пакистанского шерсти
при сушке в печи?

42 * 2102 1600 1600 1600 1600 1600

1600 1600 1600 1600 1600 1600

Норма зеленовато-серого шерстяное

43 15-1 2103 1600 1600 1600 1600 1600

1600 1600 1600 1600 1600 1600

Норма зеленовато-серого пакистанского шерсти

44 * 2104 1600 1600 1600 1600 1600

1600 1600 1600 1600 1600 1600

Норма зеленовато-серого пакистанского шерсти
при сушке в печи?

45 16-5 2105 1600 1600 1600 1600 1600

1600 1600 1600 1600 1600 1600

Норма зеленовато-серого пакистанского шерсти
при сушке в печи?

46 16-6 2106 1600 1600 1600 1600 1600

1600 1600 1600 1600 1600 1600

Норма зеленовато-серого пакистанского шерсти
при сушке в печи?

47 16-7 2107 1600 1600 1600 1600 1600

1600 1600 1600 1600 1600 1600

Норма зеленовато-серого пакистанского шерсти
при сушке в печи?

48 16-8 2108 1600 1600 1600 1600 1600

1600 1600 1600 1600 1600 1600

Норма зеленовато-серого пакистанского шерсти
при сушке в печи?

49 16-9 2109 1600 1600 1600 1600 1600

1600 1600 1600 1600 1600 1600

Норма зеленовато-серого пакистанского шерсти

50 16-10 2110 1600 1600 1600 1600 1600

1600 1600 1600 1600 1600 1600

Норма зеленовато-серого пакистанского шерсти

51 16-11 2111 1600 1600 1600 1600 1600

1600 1600 1600 1600 1600 1600

Норма зеленовато-серого пакистанского шерсти
при сушке в печи?

52 16-12 2112 1600 1600 1600 1600 1600

1600 1600 1600 1600 1600 1600

Норма зеленовато-серого пакистанского шерсти
при сушке в печи?

53 16-13 2113 1600 1600 1600 1600 1600

1600 1600 1600 1600 1600 1600

Норма зеленовато-серого пакистанского шерсти
при сушке в печи?

1	2	3	4	5	6	7	8
27-1	2105	40° 05.5 132° 30.5	2000- 3000	штук	Черно- коричневые погодные и гравитационные перевороты.	Черно- коричневые погодные перевороты.	Черно- коричневые погодные перевороты.
27-2	21-3	40° 01.1 132° 29.6	2000- 3000	штук	Черно- коричневые перевороты.	Черно- коричневые перевороты.	Черно- коричневые перевороты.
27-3	2107	40° 045.00 132° 45.00	9.7	штук	Черно- коричневые перевороты.	Черно- коричневые перевороты.	Черно- коричневые перевороты.
27-4	2108	40° 045.6 132° 44.7	17	штук	Черно- коричневые перевороты.	Черно- коричневые перевороты.	Черно- коричневые перевороты.
27-5	2109	40° 045.0 132° 44.63	21	штук	Черно- коричневые перевороты.	Черно- коричневые перевороты.	Черно- коричневые перевороты.

	1	2	3	4	5	6	7	8
80	6	6110	<u>45°040.0</u>	39	тройка	пятка		
			132°43.13					
			<u>42°45.8</u>					
81		2111	<u>132°43.3</u>	43	тройка	пятка		
			42°45.8					

Осанки посвящею-химисту, Николею Гавриловичу

8

хребту вид тела деформированного сжатием меридионального направления ;
или сдвигом в направлении северо-запада с растяжением по меридиану.

4.4. Полигон 34-А (приложение 5) находится на южном окончании подводного хребта Богорова. Батиметрическая съемка северной и центральной частей хребта выполнялась в предыдущих рейсах.

Он имеет площадь 437 км^2 и частично перекрывается с районом предыдущих исследований, его центр имеет координаты $42^{\circ}25.0' \text{ с.ш.}$ и $136^{\circ}17.0' \text{ в.д.}$ Хребет Богорова в пределах северной и центральной частей изученного в этом рейсе района, как и вся структура в целом имеет вытянутую в северном направлении форму сужающуюся к югу. Южная часть несколько в плане, отклоняется к востоку. Она имеет резкие, почти линейные границы северо-восточного и север-северо-западного простираций, что возможно, обусловлено разломами. Склоны хребта круты ($14-22^{\circ}$) иногда обрывистые. Выше изобаты 2500 м, крутизна их уменьшается образуя пологие вытянутые вдоль оси хребта вершины.

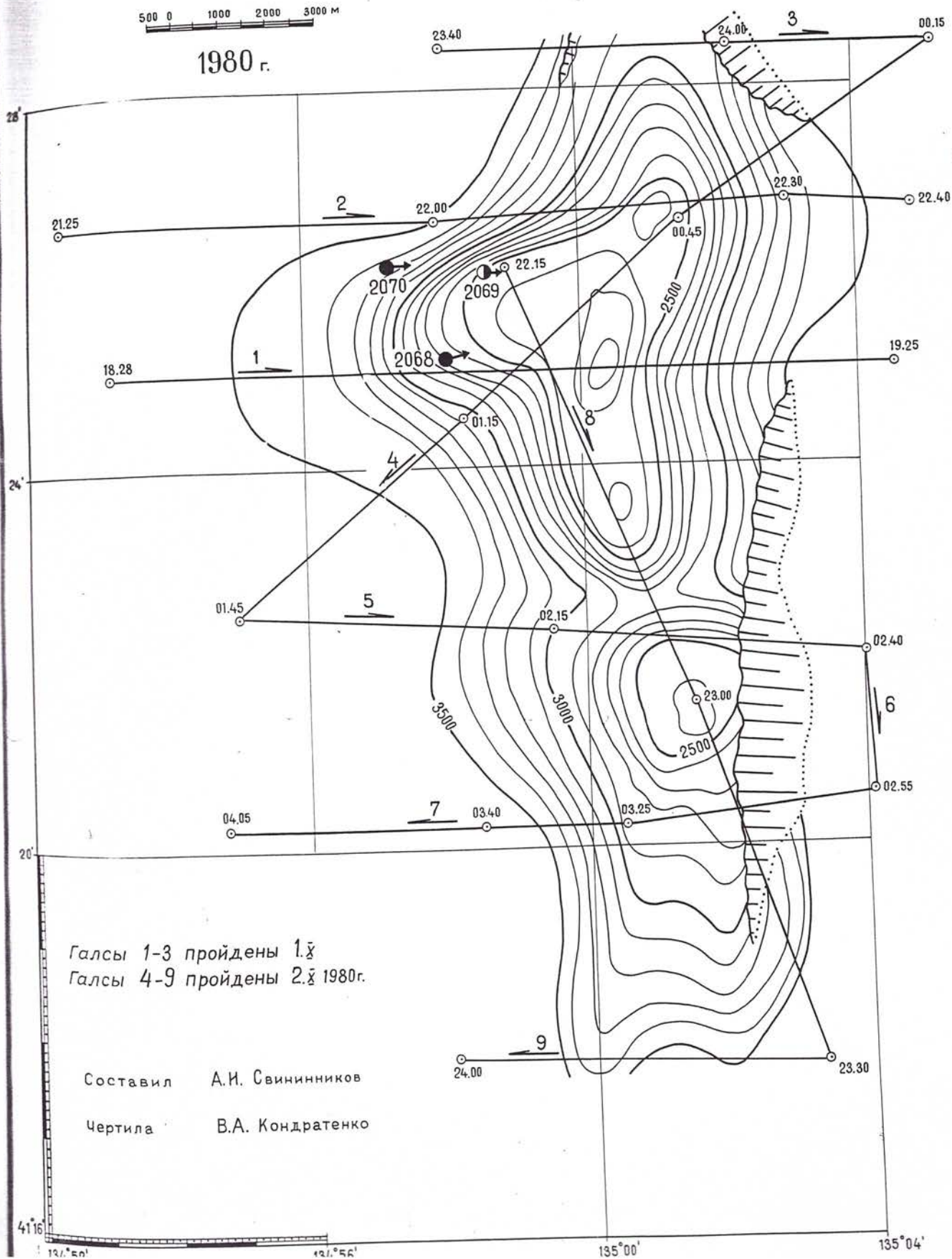
Минимальная глубина в северной части обследованного нами района равна 1600 м в южной - 2370 м.

4.5. Полигон 34-Б (приложение 6) расположен на безымянной возвышенности в западной части восточной подзоны глубоководной Центральной котловины. Координаты центра полигона $41^{\circ}24.0' \text{ с.ш.}$ и $135^{\circ}01.0' \text{ в.д.}$; его площадь около 260 км^2 .

Возвышенность имеет вытянутую в меридиональном направлении форму и представляет собой группу плосковершинных конусов, имеющих одно общее основание. Наиболее круты, часто обрывистые склоны ограничивают ее с востока, запада и северо-запада, их крутизна достигает 35° хотя обычно составляет $19-20^{\circ}$. Более пологие северный и южный склоны имеют крутизну около 10° . Подножье возвышенности с юга, востока и запада оконтуривается изобатой 3500 м. Северное замыкание структуры исследовано не было. Пологие, почти плоские вершины структуры ограничены изобатой 2500 м. Наименьшая глубина 2170 м обнаружена на одной из вершин в северной части возвышенности.

НИС „ПЕРВЕНЕЦ“
рейс 36
КАРТА
ФАКТИЧЕСКОГО МАТЕРИАЛА
ПОЛИГОН 34-Б

Приложение 6



Изучена только верхняя часть четвертичных отложений мощностью до 1,5 м отобранных прямоточными трубками на трех станциях взятых из различных участков материкового склона с глубины 570 м (ст. 2095), 1150 м (2096) и 1870 м (2097).

Разрез этих отложений в основании материкового склона (ст. 2097) представлен:

0,0-0,06 м - жидкий глинисто-алевритовый ил серо-зеленого цвета

0,06-0,26 м - рыхлые алевритистые глины зеленовато-серые с равномерно распределенными пятнами глины черного цвета размером от 0,3 до 2,5 см

0,26-0,98 - глины зеленовато-серые, пластичные с мелкими до 0,1 см линзовидно-удлиненными пятнами темного цвета.

0,98-1,44 - глины зеленовато-серые слабо пятнистые.

В северной части склона изученный разрез отложений представлен следующими осадками (ст. 2095):

0,0-0,05 м - глинистый ил зеленовато-серого цвета

0,05-0,65 м - тонкое переслаивание (1-2,5 см) глинистых и псамmito-алевритовых осадков. Глинистая часть разреза преобладает и составляет 60-70 %

0,65-0,90 м - тонкое переслаивание глинистых и алевритовых осадков аналогичное вышеописанному интервалу, но соотношение ^с проявлений составляет примерно I:I

0,90-0,95 м - алевропсамитовые осадки и примесь глинистого материала.

В средней части склона (ст. 2096) поднято всего 0,16 м рыхлых отложений представленных глинисто-алевритовыми осадками зеленовато-серого цвета.

5.2. Полигон 34-А разбит на южной оконечности возвышенности Богорова. Арагирование на нем было выполнено только с основания склона (интервал 3650-2900 м), поскольку более верхние интервалы

изучены ранее в 29 и 34 рейсах. Кроме того часть станций (2065 и 2066) выполнены нами за пределами настоящего полигона, так как зхолотная съемка этих участков возвышенности была проведена в предыдущих рейсах и при выборе мест драгирования мы использовали батиметрические карты предшественников.

На этой возвышенности нами было проведено пять результативных драгирований, в основном, с подножья склона. Здесь были подняты два комплекса пород:

1. Базальты и их туфы
2. пепловые туфы.

5.2.1. Базальты (ст. 2061, 2063, 2065, 2067) представлены обломками глыбами размером до 20x25x30 см, в которых заметна каровая отдельность. На внешней поверхности глыб развито стекловатое корочки мощностью 1-2 см черного цвета, которые сменяются пористыми базальтами с афировой структурой с порами диаметром 1-2 мм, выполненным хлоритом и глауконитом.

Туфы базальтов - обычно выветрелые породы ржаво-бурового цвета, пятнистые сложенные обломками базальтов (30-40 %) сцементированными моритизированной и глауконитизированной стекловатой массой пропитанной железо-марганцевым материалом.

5.2.2. Пепловые туфы встречаются совместно с базальтами (ст. 2061, 2063, 2065) и без них (2066). Визуально на судне они были списаны, как аматомовые алевриты, название которых было уточнено при микроскопическом изучении образцов со станции 2063. Образцы остальных станций совершенно им аналогичны. Это рыхлые породы зеленовато- светлосерого цвета массивные с ходами червей-илюедов. Основная масса породы состоит из глинистого вещества, в котором хорошо выделяется вулканическое стекло в виде удлиненных обломков и серпул в количестве до 10 % и размером от 0,05 до 0,15 мм, а также просматриваются более мелкие (0,01-0,03 мм) пепловые частицы замещенные глинистой массой. Отмечается единичные зерна кварца, биотита, глауконита.

По сходству с неогеновыми отложениями северной части Хребта Боргова породы этого комплекса могут быть условно отнесены к неогену.

5.3. Полигон 34-В На этом полигоне драгирование проведено в его северо-западной части на трех станциях (2068, 2069, 2070), характеризующих геологическое строение возвышенности в интервале глубин 3400-2400 м. Среди поднятого материала резко преобладают базальты и их туфы часто представленные глыбами размером 30x25x25 см. В незначительном количестве совместно с базальтами отмечается обломки диатомовых алевритов и железо-марганцевые корки.

5.3.1. Базальты представлены пористыми разностями. На внешней стороне многих глыб и обломков видны стекловатые корочки мощностью 1-2 см указывающие на то, что эти обломки представляют фрагменты шаровидной отдельности.

По составу преобладают оливиновые базальты с геалопилитовой микролитовой основной массой с порфировыми выделениями представленными кристаллами оливина размером до 0,8 мм плагиоклаза (58-63 % An) размером до 1 мм.

Плагиобазальты встречаются реже. Это также пористые породы с парами в количестве 20-25 % площади мицфа с интерсертальной структурой основной массы и редкими порфировыми выделениями плагиоклаза.

5.3.2. Железо-марганцевые конкреции и корки представлены обычно небольшими обломками (5x3x2 см) черного цвета, иногда в виде мелких почкообразных сростков нескольких мелких (до 1 см) шариков. Чаще они встречаются в виде цемента в агломератовых брекчиях, обломки которых представлены базальтами размером 5-6 см, а цементом служит железо-марганцевый материал совместно с гидрокислами железа глауконитом и цеолитом (ст.2070).

5.3.3. Диатомовые алевриты (ст.2068, 2070) подняты в виде небольших (от 2x2 до 10x6 см) обломков желтовато-зеленовато серого цвета массивных иногда со слабо выраженной слоистостью. По сходству литологического состава с отложениями соседних вулканических хребтов

(Богорова, Гебасса) можно предположить неогеновый возраст этих алевролитов.

5.4. Полигон 27-А (возвышенность Гебасс).

В пределах южной части этой возвышенности было выполнено драгирование на трех станциях (2098, 2099, 2105) в интервале глубин 3350–3100 м, на которых были подняты базальты.

5.4.1. Обычно это пористые разности серого цвета. Крупные глыбы представляют собой сегменты шаровых лав размером 40x35x20 см со стекловатой поверхностью внешней части сегмента мощностью 2–3 см, сложенной черным стеклом. Структура породы порфировая с интерсертальной основной массой и с порами составляющими 10–15 % площади плифа, по стенкам которых развивается хлорит.

Среди базальтов выделяются пироксеновые разности с выделениями кристаллов пироксена и плагиоклаза-лабродора (55–58 % An) размером до 1,2 мм и оливиновые с выделением фенокристов оливина размером до 1,0 мм, причем оливиновые разности развиты сразу же за стекловатой корочкой внешней части глыбы.

Кроме базальтов на станции 2105 отмечается несколько мелких (3x3x1 см) обломков железо-марганцевых корок черного цвета.

5.5. Полигон 15-А. На этом полигоне было выполнено две станции драгирования 2103 в интервале глубин 2600–2600 м и 2104 в интервале 2000–1800 м, на которых подняты обломки диатомовых алевролитов предположительно неогенового возраста, зеленовато-желтых массивных с редкими ходами червей-илоседов и мелкими (5–6 мм) резкими обломками разложенной пемзы кислого состава.

5.6. Полигон 21-В. Расположен в юго-восточной части возвышенности Первеница. В пределах этого полигона взяты три станции драгирования, характеризующие геологическое строение двух обрывистых участков склона в интервале глубин 2700–2300 м и отобраны пробы рыхлых отложений двумя прямоточными трубками. В его пределах выделяется два комплекса пород: толща диатомовых алевролитов и рыхлые четвертичные отложения.

5.6.1. Нижняя толща сложена массивными светлыми зеленовато-желтыми туфодиатомитами и пепловыми туфами с пятнами туфодиатомита и диатомита. В отдельных обломках (ст.2076) в них отмечается редкие включения галек диаметром до 1 см и обломки пемзы кислого состава.

По литологическому сходству с неогеновыми отложениями материкового склона развитых у берегов южного Приморья (полигон 2 и 22) эту толщу можно условно отнести к неогену.

5.6.2. Рыхлые отложения взяты с нижней части склона возвышенности с глубины 1930 м (ст. 2073) и 2250 м (ст.2074). Разрез их верхней части сложен следующими осадками:

0,0-0,05 м - ил коричневато бурый с примесью тонкого песка и алевритового материала (5-15 %)

0,05-0,45 м - ил песчанистый темно серый, массивный с примесью алевритовых частиц и песка (до 15 %)

0,45- 0,63 м - ил голубоватосерый слоистый, полосчатость обусловлена перемежаемостью серых и голубовато серых слойков с нечеткими контактами между слоями.

0,63-1,05 м - ил тонкослоистый, слоистость обусловлена чередованием прослоев вязкого пластинчатого ила серого цвета, составляющего 60-70 % объема породы с тонкими 2-3 мм прослойками ила содержащего примесь алевритового и песчанистого материала. Эти прослои имеют зеленоватый оттенок.

Кроме исследований проведенных на вышеописанных полигонах были отобраны пробы рыхлых отложений с восточной части Восточно-Корейской возвышенности (ст.2100-2102) в пределах ранее изученного полигона 16-А и в заливе Босток (ст.2107-2109).

5.7. На 16-А полигоне разрез рыхлых отложений приведен по всем трем станциям.

Станция 2100 (глубина 1920 м)

0,0-0,08 м - ил серый массивный

0,08-0,68 - ил серый с линзовидными включениями (до 12 мм)

на темносерого цвета расположенным горизонтально.

0,68-0,76 м - ил зеленоватосерый с включениями ила серого цвета, образующего пятна диаметром 10-13 мм.

0,76-1,08 м - ил пепельно серый в начале интервала с зеленоватым оттенком насыщенный скелетами фораминифер.

Станция 2101 (глубина 1200 м)

0,0-0,22 - ил серый алевритовый, массивный

0,22-0,32 - ил серый фораминиферовый, включения фораминифер составляют 70-75 %.

0,32-0,90 - серый ил с редкими окружными (диаметром до 3 мм) включениями фораминиферовых илов.

0,90-1,35 - ил пепельно-серый пятнистый.

Станция 2102. (глубина 1240 м).

0,0-0,70 м - ил зеленовато-серый с запахом сероводорода с редкими включениями фораминифер

0,70-0,75 м - ил аналогичный верхнему интервалу с обломками пемзы размером до 3 см

0,75-1,32 - серый алевритовый ил с линзовидными включениями обогащенными фораминиферами.

1,32-1,45 м - серый ил аналогичный инт. 0,75-1,32 м, но с большим (70-75 %) количеством включений фораминиферового ила пепельно-серого цвета размером до 0,5 см распределенными беспорядочно.

5.8. Отбор трубок в заливе Восток проведен по профилю пройденному в его средней части на глубине от 10 до 21 м.

Сводный разрез этих отложений следующий :

0,0-0,09 м - темносерый песчано-алевритовый ил.

0,09-0,20 м - черный глинисто песчаный осадок с запахом сероводорода

0,20-0,60 м - глинисто-алевритовый ил серого цвета

0,60-0,87 м - ил серый алеврито-песчаный с пятнами темносерого песчано-глинистого осадка.

ЗАКЛЮЧЕНИЕ

При проведении экспедиционных исследований в 36 рейсе НИС "Первенец" получены новые данные по рельефу дна и геологическому строению исследованных участков Японского моря.

Эхолотные промеры позволили уточнить рельеф дна на материковом склоне юго-западнее мыса Гамова и на северо-восточном окончании Восточно-Корейской возвышенности, где нашими промерами не было установлено изображенной на морской батиметрической карте 61009 глубоко врезанной до линии субмеридионального направления с крутыми бортами (полигон 15-А). Наиболее интересным результатом является уточнение местоположения вулканической постройки (полигон 34-Б), которая на морских картах 60100, 603-1 и 61011 показана в южном севернее её установленного положения. Наши работы показали, что это хребет субмеридионального простирания вытянутый на 12 км с вершинами имеющими глубину 2170-2200 м, в то время как возвышенность показанная на картах севернее обнаруженной нами имеет отметку 2812 м и вытянута в северо-восточном направлении.

Из наиболее интересных геологических результатов следует отметить находки образцов гнейсо-гранитов на полигоне I-А, которые позволяют в дальнейшем установить их возраст и условия формирования этих пород, что может иметь важное значение для понимания характера сочленения древних структур Сино-Корейского массива с палеозойскими образованиями юго-западного Приморья. На этом же полигоне отобраны образцы неогеновых пород, которые в значительной степени дополнят разрез морских неогеновых отложений Японского моря.

Кроме того, образцы базальтоидов поднятые из центральной части Центральной глубоководной котловины /полигон 34-Б/ дополнят наши знания о характере вулканизма глубоководной впадины, как и материалы полученные с вулканических хребтов Богорова и Гебесса.

В этом рейсе применялись методические новшества, в частности, глубоководное драгирование с двух барабанов траповой лебедки, методика

которого вполне освоена налубной бригадой, что в дальнейшем позволит отбирать образцы горных пород с максимальных глубин Японского и Охотского морей. Другим новшеством рейса было изучение физических свойств пород поднятых со дна моря, непосредственно на борту судна что может сделать более надёжной геологическую интерпретацию геофизических материалов.

Как уже отмечалось во "Введении" и в "Методике работ" большие потери времени при выполнении рейса связаны со штормовыми условиями плавания и плохой работой эхолота, установленного на судне в связи с моральным и физическим устареванием всех его систем. Большим недостатком НИС "Первенец" кроме малой скорости (7-8 узлов) является несовершенство навигационной системы. Имеющийся на судне "ДОРАН-А" обеспечивает точность привязки в ночное время порядка 2-4 миль, что делает некачественным проведение промерных работ в это время. Наряду с этим судно не отвечает требованиям к лабораторным помещениям, малая площадь которых делает невозможным установку в них дополнительной аппаратуры. Большой возрастной износ судна не позволяет переносить в большом удалении от берегов жестокие штормы осеннего периода.

Поэтому эксплуатация "Первенца" для решения научных проблем связанных с изучением геологического строения глубоководных котловин Японского и других окраинных морей особенно в осенне время, является нерентабельной. Для выполнения подобных задач можно использовать "Первенец" только в летнее время. А вообще, для решения подобных вопросов необходимо использовать судно оснащенное современной аппаратурой и с лучшими мореходными качествами.

Возможность Нарезки

II.	21Б	2071	$\frac{41^041,3'}{132^034,7'}$	2500-	драга	Или сильно обводненные светлые мягкие. Пластичные Или пятнистые (желтые пятна серые). Алевролиты диатомитовые светлосерые, иногда пятнистые Песчаник серый среднеэзернистый кварцито- вощатовый Галечники хороший склонности	Q " N Mz
12.	" -"	2072	$\frac{41^041,5'}{132^034,7'}$	2400-	драга	Или серые мягкие обводненные Галечники	Q "
13.	" -"	2073	$\frac{41^049,3'}{132^034,3'}$	1330	трубка (75см)	Или коричнево-бурые с примесью тонкого песка Или песчанистые темносерые массивные, иногда пятнистые Или тонкие пластичные пятнистые с нечеткой полосчатостью по косой к оси керна.	Q "
14.	" -"	2074	$\frac{41^044,0'}{132^030,6'}$	2550	" (10см)	Или обводненные буровато-серые Или бурье Или серовато-бурые спирально-пятнистые с незначительным количеством фораминифер. Или серые, пепельно-серые мягкие пластичные Или темносерые с незначительным количеством альвритовых частичек. Или голубовато-серые слоисто-полосчатые	Q "
15.	" -"	2075	$\frac{41^031,5'}{132^030,0'}$	3360	трубка	Пустая	Q "
16.	" -"	2076	$\frac{41^043,5'}{132^032,5'}$	2700-	-2400	драга	Или серые неяснополосчатые плотные, вязкие Или светлые слоистые Алевролиты диатомитовые желтовато-зеленоватые

"	2076	$41^{\circ}43,5'$	2700-	Алевриты диатомитовые с включениями округлых обломков песчаной форми	"	
			-2400	драга	Q	
				Галечники уплощенной формы		
17.	IA	$42^{\circ}17,7'$	1250-	Алевролиты лигнитовые буровато-серые с ходами червей илоедов	Глыбы размер до 30 см, N	
			-1150	драга		
				Песчаники диатомитовые тонкозернистые серовато-бурые с ходами червей илоедов	Глыбы размер до 50 см, N	
				Песчаники зелено-серые диатомитовые тонкозернистые слюдистые с ходами червей илоедов.	N	
				Песчаники пепельно-серые тонкозернистые туфогенные, довольно крепкие	Мелкие обломки MZ?	
				Гальвальты темносерые плотные и низдревато-серне-окатанные	P-N?	
				Галечники различного состава и разной степени окатанности	Q	
18.	"	$42^{\circ}16,5'$	1700-	Песчаники тонкозернистые слюдистые, диатомитовые	N	
			-1550	драга		
				Гравелиты, цемент-алевролит диатомитовый	N	
				Конгломераты от мелкогалечных до глыбовых валуничных, цемент-алевролит диатомитовый, иногда базальный		
				Гравелистый горизонт MZ?		
				Песчаники серые туфогенные		
				Галечники		
				из базальто-горизонта		
19.	"	$42^{\circ}16,1'$	1600-	Илья серые, буровато-серые мягкие, пластичные Алевриты диатомитовые светильные, буровато-серые с большим количеством ходов червей-илоедов.	Q	
			-1550	драга	N	
				Брекчики базальтов, состоящие из обломков выветрелых базальтов, уплотненной пористой моссовой вулканического пепла, пронитанного минералами галлюмиризита, силикатизированного глеуконы-тизидорозонита; базальт сильно пористый;		
				Лавы и туфы сречии базальтов;		
				Брекчики базальтов кирично-красного цвета		
				жерловая Франция		

Лава базальтов сильно вспененная пористая
(трахи-андезито-базальт);

Анделлитовые порфириты пропилитизированные;

Графит амфибита витро-лито-кристаллогластический;

Галечники и валуны хорожей и средней окатанности.

Q?

20	I A	2030	$\frac{420}{131} 14,9'$	1850-	драга	
			$\frac{420}{131} 12,6'$	-1700		

Алевролиты листомитовые с гидротионно-птигнистой текстурой, изъедены ходами червей-илоделов
плакоподобные пемзовые туфы базальтов силициты-
эпидоровые, глауконитизированные
андезитовые порфириты и их туфы пропилитизированые.

Анделито-базальты плотные стекловатые и андезиты минералекаменные
базальты трахихбазальты тонкопиристые
Галечники

Алевролиты илистые темносерые слюдистые массивные
хлоритизированные
базальты сильнопиристые (трахихбазальты) с
контактом базальтовой брекчии, туло-брекчии
Гравелиты с контактом буровато-серых андезитов.

Конкремция фосфориты эпированных кремнистых
алевролитов

Анделитовые порфириты пропилитизированные

Граниты серые среднезернистые порфироадилитовые
растительновальные роговообманково-биотитовые

Угловатые
шлакомки
 $25 \times 12 \times 10$ см

N?

глыбы размс-
ром $60 \times 40 \times 25$
N?
P-N?

N2-Q

P-N?

Q

Базальный горизонат
P-N?

Q

P-N

Угловатые
шлакомки
 $25 \times 12 \times 10$ см

-63-

1 2 3 4 5 6

Граниты, гнейсовые видные, слегка давленные,
расщепленные, окварцованные с большим
количеством биотита (более 30 %)
Кварц-биотитовые породы (илины из гранитов,
либо роговики)

PR - PZ?

Роговики кварц-хлорит-биотит-эндотитовые с
вкраплением сульфидов
Фосфоритизированный известник.

N-Q

22. " " 2082 $\frac{42^0 13,2}{1310 02,3}$ 1350-
-1250 Арага

Илы плотные и илистые алевриты зеленовато-
серые вязкие, слегка слюдистые с ред-
кими ходами червей - илоедов

N₂-Q

Алевролиты диатомитовые желто-серые с
ходами червей илоедов с наклонениями
фораминифер.

-64-

Конкремции кремнистых алевролитов фосфо-
ритизированных

N-Q?

23. " " 2083 $\frac{42^0 13,0}{1310 04,1}$ 1700-
-1500 Арага

Алевриты илистые серые, вязкие, плотные
Алевролиты диатомитовые с большим
количеством ходов червей - илоедов

N₂-Q?

Алевролиты диатомитовые зелено-серые с
большим количеством ходов червей -
илоедов

N

Плохо окатанная галька уплощенной формы
биофит -роговообманкового гранодиорита,
гнейсовых?

PR - PZ?

24	I-A	2084	$\frac{42^{\circ}13'3''}{13^{\circ}05'2''}$	1720	metra	Абсолютно сухие южные, юго-западные, юго-восточные ветры. Ветра северо-западного и северо-восточного направления сильные, северо-восточные ветры слабые.	$N_2 - Q$?	Pz ?	$PR - Pz$?	N^2 ?	Pz ?	$PR - Pz$?	N ?	Q	$PR - Pz$?	MZ ?	$Pz - MZ$?	$Pz - MZ$?
25	I-A	2085	$\frac{42^{\circ}01'4''}{13^{\circ}05'5''}$	1400	metra	Абсолютно сухие южные, юго-западные, юго-восточные ветры. Ветра северо-западного и северо-восточного направления сильные, северо-восточные ветры слабые.	$N_2 - Q$?	N	$PR - Pz$?	MZ ?	Pz ?	$PR - Pz$?	MZ ?		$PR - Pz$?	MZ ?	$Pz - MZ$?	$Pz - MZ$?

7 2 1 3 1 4 5 6

8282

Согласование с глаголом в
сочетании с наречием

н?

Минимум времени

Р?

Антиципация времени
предиката в предложении

Р?
Q?

Н?

Глагол в предложении
с наречием времени

Р?

Р

Антиципация времени
предиката в предложении

Р

Р

Антиципация времени
предиката в предложении

Р

Р?

Н?

Глагол в предложении
с наречием времени

Р?

Р

Антиципация времени
предиката в предложении

Р?

Р

Антиципация времени
предиката в предложении

Р?

Р

33	и	2003	11.04.7	110.5 120.5 101.5	1550	1.402 1.412 1.416	1600	469.5	2002	1-V-1	33
34	и	2004	12.04.4	120.4 130.4 110.4	1700	1.414 1.421 1.425	1800	470.2	2003	1-V-1	34
35	и	2005	13.04.1	130.1 140.1 110.1	1800	1.421 1.431 1.435	1900	470.8	2004	1-V-1	35
36	и	2006	14.04.7	140.7 150.7 120.7	1900	1.431 1.441 1.445	2000	471.4	2005	1-V-1	36
37	и	2007	15.05.3	150.3 160.3 130.3	2000	1.441 1.451 1.455	2100	472.0	2006	1-V-1	37
38	и	2008	16.05.9	160.9 170.9 140.9	2100	1.451 1.461 1.465	2200	472.6	2007	1-V-1	38
39	и	2009	17.06.5	170.5 180.5 150.5	2200	1.461 1.471 1.475	2300	473.2	2008	1-V-1	39
40	и	2010	18.07.1	180.1 190.1 160.1	2300	1.471 1.481 1.485	2400	473.8	2009	1-V-1	40

